

## VI. OCHRONA PRZECIWOŻAROWA BUDYNKÓW

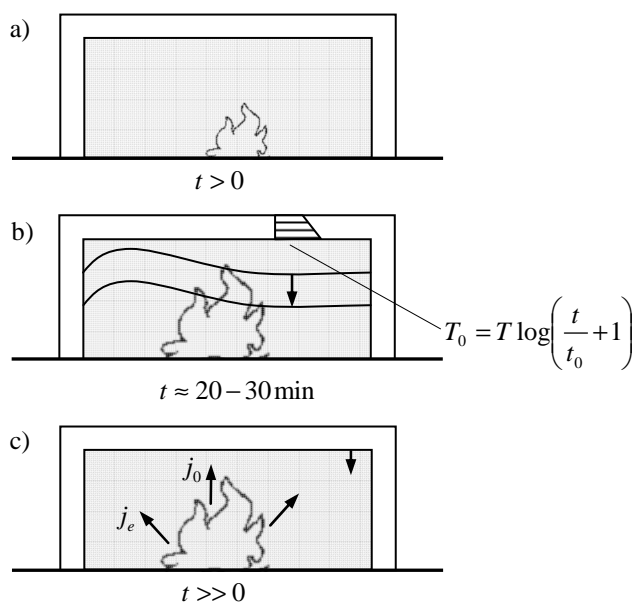
### 34 Etapy rozwoju pożaru

Ochrona przeciwpożarowa uwzględnia następujące fazy rozwoju pożaru:

- I. Lokalna inicjacja pożaru i jego narastanie .
- II. Radiacyjna i konwekcyjna wymiana ciepła między źródłem pożaru a konstrukcją.
- III. Gwałtowne wydzielania się dymu, gazów spalinowych i toksyn.
- IV. Przepływy ciepła w elementach konstrukcji.
- V. Ewolucja naprężeń wywołane pożarem oraz konsekwencje pożaru dla trwałości i warunków eksploatacyjnych budowli.

Podstawy wymóg ochrony przeciwpożarowej to takie zaprojektowanie budynku, łącznie z drogami ewakuacji, aby w ciągu określonego czasu (min. 20min) od inicjacji pożaru ludzie mogli opuścić obiekt.

Poszczególne fazy narastania pożaru w pomieszczeniach budynku przedstawia się na rysunku 36.1.



Rys.34.1. Fazy rozwoju pożaru:

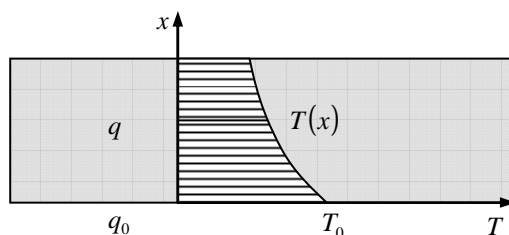
a) lokalna inicjacja pożaru, b) pożar pełny, c) zanikanie pożaru

W pierwszej kolejności należy wyznaczyć rozkłady temperatury w przekrojach konstrukcji wywołane przez przekaz energii od miejsca spalania do powierzchni konstrukcji. Mamy tu do czynienia głównie z konwekcyjnym i radiacyjnym przepływem ciepła, którego podstawy podano w II rozdziale pracy.

Wpływ ten w uproszczonej formie przyjmuje się jako zmianę temperatury  $\theta$  na powierzchni konstrukcji w funkcji czasu

$$\theta = T - T_0 = 345 \lg(8t+1), \quad (34.1)$$

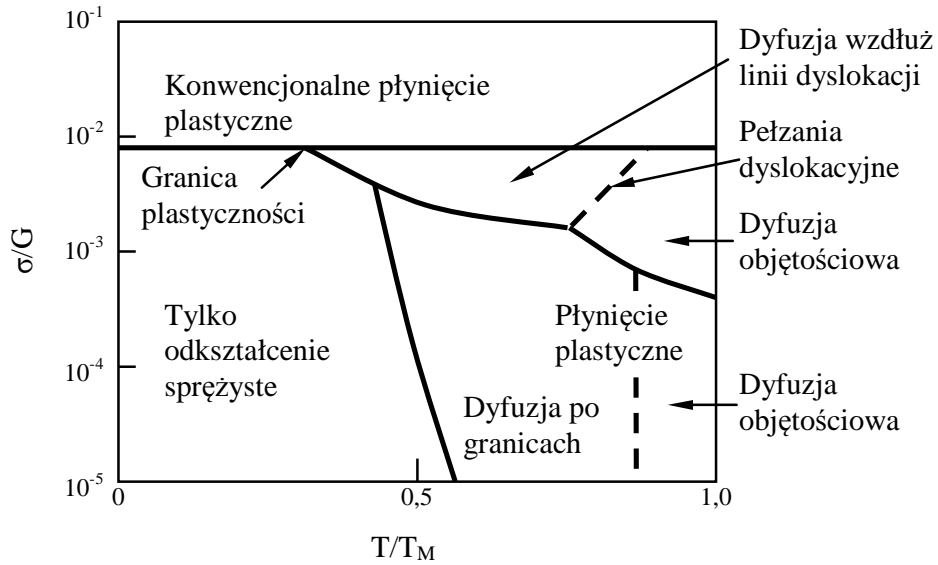
gdzie  $T$ ,  $T_0$  temperatura aktualna i początkowa  $^{\circ}\text{C}$ ,  $t$  – czas w minutach. Znając rozkład temperatur w przekroju pręta, uzyskany z równania przewodnictwa, wyznaczamy deformacje termiczne, a dalej naprężenia.



Rys.34.2. Rozkład temperatury w przekroju elementu

### 35 Naprężenia pożarowe w konstrukcji stalowej

Znając rozkład temperatur jesteśmy w stanie wyznaczyć naprężenia oraz określić miejsca, w których konstrukcja ulegnie zniszczeniu. Potrafimy jednak uwzględnić tylko liniowe rozkłady temperatur. Wobec tego należy przekrój zginany podzielić na warstwy i w każdej z nich założyć liniowe rozkłady temperatury lub przyjąć, że na dole warstwy wystąpi temperatura  $T_0$  a na górze  $T$ . Rozkład temperatur wywoła w układzie siłę osiową i momenty zginające.



Rys.35.1. Mechanizmy odkształcenia plastycznego przy różnych naprężeniach i temperaturach

Rozważania mechaniczne rozpoczniemy od przyjęcia rozkładu deformacji  $\varepsilon$  na część sprężystą  $\varepsilon_e$ , lepką  $\varepsilon_c$  i cieplną  $\varepsilon_T$

$$\varepsilon = \varepsilon_e + \varepsilon_c + \varepsilon_T . \quad (35.1)$$

Otrzymamy stąd równanie na naprężenia  $\sigma$  w *teorii starzenia*

$$\varepsilon = \frac{\sigma}{E} + A(T)\sigma^m + \alpha_T T , \quad (35.2)$$

gdzie  $\varepsilon_e = \frac{\sigma}{E}$ ,  $\varepsilon_c = A(T)\sigma^m$ ,  $\varepsilon_T = \alpha_T T$ .

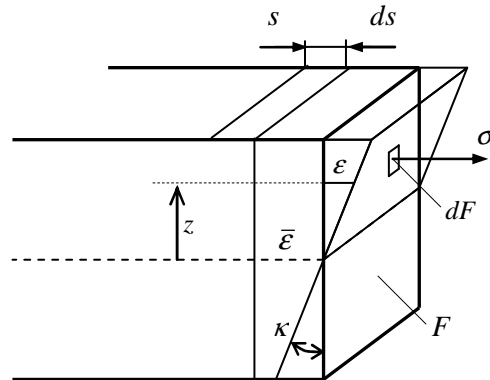
Teoria *lepkiego płynięcia* analizuje przyrosty stanu deformacji w czasie pożaru. Teoria ta lepiej opisuje proces

$$\dot{\varepsilon} = \dot{\varepsilon}_e + \dot{\varepsilon}_c + \dot{\varepsilon}_T . \quad (35.3)$$

Równania fizyczne w tym przypadku mają formę

$$\dot{\varepsilon} = \frac{\dot{\sigma}}{E} + \dot{B}(T)\sigma^n + \alpha_T \dot{T} . \quad (35.4)$$

W równaniu tym prędkość odkształceń lepkich jest proporcjonalna do n-tej potęgi naprężeń.



Rys.35.2. Deformacje i naprężenia pożarowe

Równanie na odkształcenia włókien przekroju w czasie pożaru mają postać

$$\dot{\varepsilon} = \dot{\kappa} z + \dot{\bar{\varepsilon}}. \quad (35.5)$$

W dalszych rozważaniach dla prostoty przyjmujemy, że  $\bar{\varepsilon} \approx 0$ .

Równanie fizyczne teorii lepkiego płynięcia przy uwzględnieniu równań geometrycznych (35.5)

$$\dot{\varepsilon} = \frac{\dot{\sigma}}{E} + \dot{B}(T)\sigma^n + \int_F \alpha_T z \dot{T} dF \quad (35.6)$$

i scałkowaniu po zginanym przekroju prowadzi do reakcji

$$\dot{\kappa} \int_F z^2 dF = \frac{1}{E} \int_F \dot{\sigma} z dF + \int_F \dot{B}(T)\sigma^n z dF + \int_F \alpha_T z \dot{T} dF, \quad (35.7)$$

z której wyznaczamy prędkość zmian krzywizny pręta

$$\dot{\kappa} = \frac{\dot{M}}{EI} + \frac{1}{I} \int_F \dot{B}(T)\sigma^n z dF + \frac{\alpha_T \hat{T}}{I}. \quad (35.8)$$

Z klasycznej mechaniki konstrukcji znana jest relacja między prędkościami przemieszczeń i krzywizn postaci

$$\dot{\mathbf{u}} = \int_s \dot{\kappa} \mathbf{a} ds. \quad (35.9)$$

Podobnie w mechanice konstrukcji, siły wewnętrzne są liniowymi funkcjami obciążeń  $\mathbf{P}$  i sił nadliczbowych  $\mathbf{X}$

$$\dot{M} = \mathbf{a}^T \dot{\mathbf{X}} + \mathbf{b}^T \dot{\mathbf{P}}. \quad (35.10)$$

Wstawiając (35.7<sub>3</sub>) do (35.7<sub>1</sub>) a następnie do (35.7<sub>2</sub>) otrzymujemy równania statyki

$$\dot{\mathbf{u}} = \int_s \left\langle \frac{1}{EI} (\mathbf{a}^T \dot{\mathbf{X}} + \mathbf{b}^T \dot{\mathbf{P}}) + \frac{1}{I} \int_F \dot{B}(T) \sigma^n z dF + \frac{\alpha_T \hat{T}}{I} \right\rangle \mathbf{a} ds \quad (35.11)$$

konstrukcji stalowych w czasie pożaru. Z tego ogólnego równania jako przypadek szczególny, kiedy  $\dot{\mathbf{u}} = 0$ , wynikają równania, z których można wyznaczyć najpierw siły nadliczbowe  $\mathbf{X}$ , a dalej naprężenia w konstrukcji stalowej w czasie pożaru.

Analizować będziemy teraz okres przejściowy od pełnego pożaru do jego zanikania, kiedy występują największe, prawie ustalone stany naprężeń. Wtedy można założyć, że  $\dot{\mathbf{P}} \approx 0$  oraz  $\dot{\mathbf{X}} \approx 0$ . Ulegną wówczas dużemu uproszczeniu równanie macierzowe (35.9). Będzie

$$\dot{\mathbf{u}} = \int_s \left\{ \frac{1}{I} \int_F \dot{B}(T) \sigma^n z dF + \alpha_T \frac{\dot{T}}{I} \right\} \mathbf{a} ds \quad (35.12)$$

Wtedy też zmiany prędkości przemieszczeń  $\Delta \dot{\mathbf{u}} = \dot{\mathbf{u}}(t+h) - \dot{\mathbf{u}}(t)$  jako prognoza stopnia wzrostu deformacji popożarowych, określone zostaną nierównością:

$$\Delta \dot{\mathbf{u}} = \dot{\mathbf{u}}(t+h) - \dot{\mathbf{u}}(t) = \int_s \left\{ \frac{1}{I} \int_F \frac{\partial \dot{B}}{\partial T} \dot{T} h \bar{z} dF + \alpha_T \frac{\partial \dot{T}}{\partial t} h \right\} \mathbf{a} ds \leq \Delta \dot{\mathbf{u}}_{gr}. \quad (35.13)$$

#### Przykład VI.1

Należy oszacować prędkości narastania przemieszczeń w statycznie wyznaczalnej konstrukcji stalowej objętej pożarem. Znamy rozkłady temperatur w poszczególnych przekrojach konstrukcji  $T(t; s, z)$  oraz obciążenia stałe  $\mathbf{P}$ , tak że  $\dot{\mathbf{P}} = 0$ .

#### Odpowiedź:

Korzystać będziemy z ogólnej zależności (35.8) na prędkość przemieszczeń  $\dot{\mathbf{u}}$ . W zależności tej dla  $\mathbf{X} = 0$  - zadanie statycznie niewykonalne i  $\dot{\mathbf{P}} = 0$ , zniknie pierwsza całka. Stąd

$$\dot{\mathbf{u}}(t; s_n) = \frac{1}{I} \int_s \left\langle \int_F \dot{B}(T) \sigma^n z dF + \alpha_T \hat{T} \right\rangle \mathbf{a}(s, s_n) ds.$$

Wektor przemieszczeń  $\mathbf{u}^T = (u_1, u_2, \dots, u_n)$  zawiera przemieszczenia w  $n$ -punktach konstrukcji, natomiast wektor  $\mathbf{a}^T = [M_1(s_1), \dots, M_1(s_n)]$  - to układ momentów pochodzących od sił jednostkowych przyłożonych kolejno w przekrojach  $s_1, s_2, \dots, s_n$ . W wytycznych ochrony ogniowej znajdują się ograniczenia prędkości narastania przemieszczeń  $\dot{u}_{gr} [\frac{m}{sec}]$ . Ich spełnienie w naszym zadaniu prowadzi do relacji

$$\sqrt{(\dot{\mathbf{u}}^T \cdot \dot{\mathbf{u}})} \leq \dot{u}_{gr} .$$